

# ارائه یک مدل مکانیابی - موجودی سه‌سطحی برای زنجیره‌ی تأمین خون

ابوالفضل کاظمی<sup>\*</sup> (دانشیار)

مصطفی‌محمد حیدری (کارشناس ارشد)

دانشکده‌ی هنдрسی صنایع و مکانیک، دانشگاه آزاد اسلامی واحد قزوین

هرمیه کربیه (دانشجوی دکتری)

گروه هندرسی صنایع، دانشکده‌ی فنی و هندرسی، دانشگاه بزد

مدیریت زنجیره‌ی تأمین خون یکی از چالش‌های مهم سیستم بهداشت و درمان است. تصمیم‌گیری در ارتباط با مکانیابی پایگاه‌های جمع‌آوری و توزیع خون و همچنین سیاست کنترل موجودی شامل مقدار بهینه سفارش برای مقابله با هدر رفت و کمبود خون از چالش‌های اساسی این زنجیره است. در این مقاله، یک مدل برنامه‌ریزی تصادفی دو مرحله‌ی مکانیابی - موجودی سه‌سطحی خون که جزء زنجیره‌ی تأمین کالای فاسدشدنی است؛ با در نظر گرفتن سیستم مصرف FIFO در بیمارستان‌ها ارائه شده است. هدف مدل کمینه‌سازی هزینه‌ی کل به همراه تعیین مکان بهینه پایگاه‌های ثابت و سیار، تخصیص اهداف ندگان به آن‌ها و تعیین سیاست موجودی است. در این پژوهش، پلاکت که کم عمرترین جزء خون محسوب می‌شود، بررسی شده است. به منظور حل مدل پیشنهادی، از دو الگوریتم ژنتیک (GA) و بهینه‌سازی ازدحام ذرات (PSO) استفاده و در نهایت پارامترهای این دو الگوریتم به وسیله‌ی آزمایشات تاگوچی تنظیم شده است.

## ۱. مقدمه

وازگان کلیدی: زنجیره‌ی تأمین خون، مکانیابی - موجودی، الگوریتم ژنتیک، الگوریتم ازدحام ذرات.

abkaazemi@qiau.ac.ir  
m.heidari@qiau.ac.ir  
marziek@ymail.com

زنジره‌ی تأمین است که نقش حیاتی در عملکرد زنجیره‌ی خون دارد و در مورد بهینه‌سازی تعداد، مکان، ظرفیت تسهیلات و جریان مواد در یک افق زمانی چند دوره‌یی تصمیم‌گیری می‌کند. از آن‌جا که مراکز خون به طور مستقیم با عمل جراحی و متعدد آن، با جان انسان در ارتباط است، اهمیت این موضوع در حوزه‌ی سلامت بسیار پررنگ شده است. عدم استجام و هماهنگی بین تعداد اهداف ندگان و مقاضیان، همواره مسئله‌یی جهانی بوده است. در حال حاضر هیچ محصول یا فرایند شیمیایی دیگری نیست که به عنوان جایگزین آن مورد استفاده قرار گیرد.<sup>[۱]</sup> بنابراین پژوهش حاضر به بهینه‌سازی شبکه‌ی زنجیره‌ی تأمین خون می‌پردازد.

زنジره‌ی تأمین خون از سه فاز تشکیل شده است. فاز اول که «جمع‌آوری خون» نام دارد، شامل سه سطح است. سطح اول، اهدای خون توسط اهداف ندگان و در سطح دوم و سوم جمع‌آوری آن‌ها توسط پایگاه‌های سیار یا ثابت انجام می‌شود. در فاز دوم (فاز تولید)، پس از انجام آزمایشات برای اطمینان از عدم وجود بیماری، فرآورده‌های خونی تولید می‌شوند. در این مرحله انجام آزمایشات و جداسازی فرآورده‌ها معمولاً به صورت موازی انجام می‌شود. واحد خون کامل به پنج جزء گلوبول‌های قرمز، پلاسماء، گلوبول‌های سفید، سرم یا پلاکت تقسیم می‌شود. همه‌ی فرآورده‌های خون به جز پلاسماء فاسدشدنی هستند، مخصوصاً پلاکت‌ها که بسیار زود فاسد می‌شوند؛ چرا که عمر آن‌ها پنج روز است. دومین جزء خونی از لحاظ فسادپذیری، گلوبول‌های

تأمین خون سالم و کافی مورد نیاز بیمارستان‌ها و مدیریت آن در شرایط عادی و بحرانی، چالشی است که سیستم سلامت دولت‌ها همیشه با آن مواجه‌اند. نیاز به اهداف ندگان خون و فرآورده‌های آن همیشه وجود خواهد داشت، در حالی که عرضه‌ی آن از سوی اهداف ندگان تا حدودی نامنظم و تقاضاً برای فرآورده‌های خونی اغلب تصادفی است. تطبیق عرضه و تقاضاً به شیوه‌یی کارآمد درباره این محصول کار چندان ساده‌یی نیست. خون و فرآورده‌های خونی، محصولاتی فاسدشدنی هستند و این کار را دشوارتر می‌کند. همچنین از میان خون‌های اهدای شده تنها میزان ۵٪ از آن‌ها قابل استفاده بوده و بین هر بار اهدای خون و دفعه بعد، یک فاصله‌ی زمانی اجباری وجود دارد تا بدن فرد بتواند خون از دست داده را بازسازی کند. با توجه به مدیریت عرضه محصولات خونی، نمی‌توان خون را به خودی خود یک محصول دانست.<sup>[۲]</sup> بنابراین مدیریت زنجیره‌ی تأمین و به دنبال آن طراحی یک زنجیره‌ی تأمین مناسب برای تأمین خون مورد نیاز، موضوعی است که باید بدان توجه داشت. طراحی شبکه‌ی زنجیره‌ی تأمین خون یکی از تصمیمات راهبردی در مدیریت

\* نویسنده مسئول

تاریخ: دریافت ۱۳۹۹/۷/۱۳، اصلاحیه ۲۵، ۸/۰۰، ۱۴۰۰/۹/۲۸، پذیرش ۱۴۰۰/۹/۲۸.

DOI:10.24200/J65.2021.56228.2140

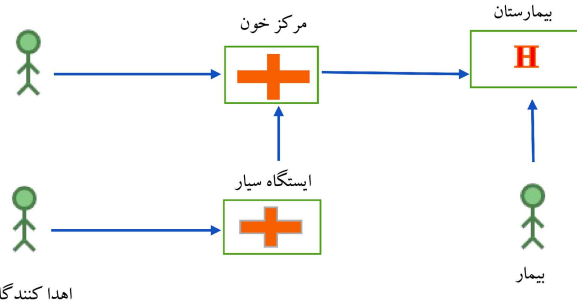
خون بیشتر کانون توجه بوده است.<sup>[۷]</sup> اما در مطالعه نامیاس (۱۹۸۲)، توجه بیشتر به نظریه‌های موجودی‌های فسادپذیر معطوف شده است.<sup>[۸]</sup>

پرسکالا (۲۰۰۵)، مرور ادبیاتی بر مدیریت زنجیره‌ی تأمین بانک خون ارائه کرده است. وی، طرح زنجیره‌ی تأمین خون و مسائل تاکتیکی و عملیاتی این زنجیره را بررسی کرده است. پرسش‌هایی همچون «چه عملکردی از بازکاری خون باید انتظار داشت؟»، «چه مکان‌هایی برای این عملکرد باید انتخاب شود؟»، «چه تعداد مرکز خون در یک منطقه باشد؟»، «این مراکز در چه مناطقی باشد و چه محدوده‌یی از اهداکنندگان را پوشش دهند؟»، «چه سرویس‌های تزریقی باید توسط این مراکز ارائه شود؟» در این مطالعه بررسی شده است.<sup>[۹]</sup> ژو و همکاران (۲۰۱۱)، به بررسی مدیریت موجودی پلاکت خون با توجه به طول عمر سه روزه‌ی آن پرداختند. آن‌ها یک سیستم تناوبی موجودی برای سفارش پلاکت تحت دو حالت بازپرسازی<sup>۱</sup> سفارش در ابتدای دوره و میان دوره استفاده کردند و مدل خود را با استفاده از برنامه‌ریزی پویا فرموله کردند.<sup>[۱۰]</sup> دوان و لیا (۲۰۱۴)، چارچوب بهینه‌سازی شبیه‌سازی جیدیدی برای مدیریت زنجیره‌ی تأمین خون پیشنهاد دادند که با گروه خونی ABO سازگار بود. هدف کمینه‌سازی نزد تاریخ گذشتگی با در نظر گرفتن یک سطح خاص قابل قبول برای کمبود بود. آن‌ها از روش حل فرآیندکاری TA-TS برای حل مدل استفاده کردند.<sup>[۱۱]</sup> فهیم‌نیا و همکاران (۱۵)، یک زنجیره‌ی تأمین چند‌هدفه برای کمینه‌سازی هزینه و زمان تحويل خون ارائه دادند و از یک روش ترکیبی محدودیت اپسیلن<sup>۲</sup> و آزادسازی لاگرانژ<sup>۳</sup> برای حل مدل خود استفاده کردند.<sup>[۱۲]</sup> دبلون و همکاران (۲۰۱۷)، یک مدل تصادفی دومرحله‌ی برای تعیین سیاست‌های بهینه‌ی بازبینی دوره‌ی برای مدیریت موجودی گلوبول‌های ارائه داده‌اند که بر کمینه‌سازی هزینه‌های عملیاتی، کمبود خون و هدر رفت ناشی از قدیمی شدن تأکید دارد.<sup>[۱۳]</sup>

شاھین و همکاران (۲۰۰۷)، حسینی فرد و عباسی (۲۰۱۸)، رمضانیان و بهبودی (۲۰۱۷) و ظهیری و پیشوایی (۲۰۱۷)، زنجیره‌ی تأمین خون را با استفاده از تقاضا و عرضه‌ی تصادفی مدل کردند. شاهین و همکاران (۲۰۰۷)، یک مدل ریاضی برای منطقه‌ی شدن خدمات خونی در ترکیه ارائه دادند. آنها فرض کردند که جمعیت یک منطقه تقاضای خون را تعیین کرده و برای حل مسائل مکان‌بایی - تخصیص از مدل‌های P-Mینی<sup>۴</sup> استفاده کرده‌اند.<sup>[۱۴]</sup> حسینی فرد و عباسی (۲۰۱۸)، اهمیت تمرکز موجودی را در دو مین سطح زنجیره‌ی تأمین خون دوستخطی بررسی کردند.

سطح اول شامل یک بانک خون واحد با عرضه‌ی نامشخص است، در حالی که سطح دوم شامل بیمارستان‌هایی است که تقاضای خارجی دارند. آن‌ها نشان دادند که تمرکز موجودی بیمارستان‌ها یکی از عوامل اساسی در زنجیره‌ی خون است و می‌تواند باعث پایداری و تاب آوری زنجیره خون شود.<sup>[۱۵]</sup> رمضانیان و بهبودی (۲۰۱۷)، یک مدل برنامه‌ریزی خطی مختلط عدد صحیح را برای طراحی شبکه‌ی زنجیره‌ی تأمین خون پیشنهاد دادند. آن‌ها عوامل اجتماعی مختلفی از جمله مسافت، هزینه‌ی تبلغات و عوامل تجریبه را که بر روی تخصیص گیری اهداکنندگان تأثیر می‌گذارد، در نظر گرفتند.<sup>[۱۶]</sup> ظهیری و پیشوایی (۲۰۱۷)، سازگاری گروه‌های خونی را در طراحی شبکه‌های زنجیره‌ی تأمین خون در نظر گرفتند. برای این منظور یک مدل برنامه‌ریزی ریاضی دوهدفه برای کمینه‌سازی هزینه‌ی کل و همچنین پیشنهاده سازی تقاضای برآورده نشده تدوین شده است.<sup>[۱۷]</sup>

اسکندری و همکاران (۲۰۱۸)، یک زنجیره‌ی تأمین خون پایدار چند‌هدفه ارائه داده‌اند که به پیشنهاده سازی جنبه‌های اجتماعی (مشاغل ثابت و متغیر) در زنجیره‌ی تأمین می‌پردازد.<sup>[۱۸]</sup> قطره سامانی و همکاران (۲۰۱۸)، یک مدل برنامه‌ریزی خطی عدد صحیح مختلط چند‌هدفه برای طراحی یک شبکه‌ی زنجیره‌ی تأمین خون در شرایط بحران ارائه داده‌اند. مدل توسعه یافته‌ی آن‌ها، تمام جنبه‌های خاص زنجیره‌ی



شکل ۱. زنجیره‌ی تأمین سه‌سطحی مدل پیشنهادی.

قرمز هستند که ۴۲ روز عمر می‌کنند. فاز سوم این زنجیره، فاز توزیع محصولات خونی است. پس از آن‌که خون اهداکنندگان جمع‌آوری، آزمایش و در انبار ذخیره شد، آماده توزیق و انتقال به بیماران نیازمند به خون است. با ارسال درخواست خون توسط بانک خون بیمارستان و یا سایر مراکز درمانی از یک محصول و در صورت وجود آن در مرکز به آن درخواست پاسخ داده می‌شود.<sup>[۲]</sup>

در زنجیره‌ی تأمین خون هم کمبود و هم مازاد خون باید در نظر گرفته شود. اگر تقاضا برآورده نشود، منجر به از دست رفتن زندگی می‌شود.<sup>[۳]</sup> طبق آمار صلیب سرخ آمریکا ۲۸٪ از بیمارستان‌ها گزارش کنسل شدن عمل جراحی به دلیل کمبود خون کشانی از اندازه‌ی آن باعث هدر رفتن آن و همچنین کمبود آن باعث کنسل شدن عمل‌های جراحی و یا در شرایط بحرانی، کمبود آن باعث مرگ بیمار می‌شود. در سال ۲۰۰۴ میلادی ۱۷٪ پلاکت جمع‌آوری شده در آمریکا هدر رفته است.<sup>[۴]</sup>

همچنین از آن‌جا که عرضه‌ی خون از سوی اهداکنندگان تا حدودی نامنظم و تقاضا برای فرآورده‌های خونی اغلب تصادفی است، در این پژوهش، یک مدل برنامه‌ریزی تصادفی دومرحله‌ی مکان‌بایی - موجودی سه‌سطحی خون مورد مطالعه قرار گرفته شده است. سه سطح پیشنهادی در این پژوهش، نقاط اهداکننده، مراکز جمع‌آوری و نقاط تقاضا مطابق شکل ۱ در نظر گرفته شده است.

هدف از این پژوهش ارائه‌ی یک مدل برنامه‌ریزی برای مسئله‌ی مکان‌بایی - موجودی زنجیره‌ی تأمین خون است. زنجیره‌ی تأمین خون پیشنهادی، دارای سه سطح، شامل اهداکنندگان خون، پایگاه‌های سیار و ثابت و مراکز مصرف است. تابع هدف کمینه کردن هزینه‌ی مکان‌بایی پایگاه‌های سیار و ثابت جمع‌آوری خون، هزینه‌ی حمل و نقل، هزینه‌ی تخصیص اهداکنندگان، هزینه‌ی سفارش، هزینه‌ی نگهداری، کمبود و هدر رفتن خون در مراکز خون و بیمارستان‌هاست. هدف به دست آوردن مقدار خون انتقال یافته از هر سطح زنجیره‌ی خون به سطح دیگر زنجیره است. با دانستن مقدار خون انتقال یافته مدیر می‌تواند تصمیم‌گیری‌های مناسبی اتخاذ کند. بنابراین این پژوهش می‌تواند به عنوان یک سیستم پشتیبان تصمیم به مدیر در تصمیم‌گیری کمک کند.

## ۲. مرور ادبیات

تحقیقات در زمینه‌ی مدیریت محلی و منطقه‌یی تأمین خون از دهه‌ی ۱۹۶۰ آغاز شد و در اوخر دهه‌ی ۱۹۷۰ و اوایل دهه‌ی ۱۹۸۰ به اوج خود رسید. مرورهای خوبی در این زمینه را می‌توان در اواسط دهه‌ی ۱۹۸۰ در کارهای نامیاس و پراکتاکوس پیدا کرد. در مطالعه‌ی پراکتاکوس (۱۹۸۴)، سیاست‌ها و تصمیمات مدیریت بانک

نواوری‌های مقاله‌ی حاضر، با ارائه‌ی جدول ۱، به مقایسه‌ی این مقاله با مقالات حوزه‌ی زنجیره‌ی تأمین خون، از منظر نوع عدم قطعیت و رویکرد مواجهه با آن، نوع تصمیمات، تعداد سطوح زنجیره، توابع هدف و غیره پرداخته شده است.

تأمین خون شامل عدم قطعیت در تقاضا و عرضه‌ی نامنظم، فسادپذیری و جلوگیری از کمبود فراورده‌های خونی را در نظر گرفته و بین هزینه‌ها، کمبود و تازگی توازن ایجاد کرده است. در این پژوهش برای حل مدل، از رویکرد تعاملی فازی استفاده شده است.<sup>[۱۸]</sup> [۱۹] قطه‌های سامانی و همکاران (۲۰۱۹)، در پژوهشی دیگر یک راهکار پیشگیری دو مرحله‌ای با استفاده از یک روش تکیبی فرایند سلسله مراتبی فاری و تحلیل منطقی خاکستری برای تعیین تسهیلات خون اضافی پیشنهاد داده‌اند که

خط ایجاد اختلال از طریق آن کاهش می‌یابد. علاوه بر این، یک فرمول P استوار<sup>۵</sup> برای کنترل قابلیت اطمینان تحت سناریوهای اختلال با کمترین هزینه ارائه شده است.<sup>[۱۹]</sup> [۲۰] حمدان و دیبات (۲۰۱۹)، یک مدل بهینه‌سازی تصادفی دو مرحله‌ای برای زنجیره‌ی تأمین خون پیشنهاد دادند. مدل سه‌هدفه‌ی آن‌ها، آسیب‌پذیری واحدهای خونی، تصمیم‌گیری‌های پیش‌بینی شده و همچنین برنامه‌ریزی برای پس از فاجعه را در نظر می‌گیرد. با استفاده از روش محدودیت اپسیلن، مسئله‌ی سه‌هدفه به یک مسئله‌ی برنامه‌ریزی عدد صحیح مختلط تبدیل و با استفاده از CPLEX برای یک مطالعه‌ی موردنی واقعی از اردن حل شده است.<sup>[۲۰]</sup> صالحی و همکاران (۲۰۱۹)،

یک مدل جدید تصادفی استوار دو مرحله‌ای چنددوره‌ی و سه‌سطحی برای طراحی شبکه‌ی زنجیره‌ی خون با در نظر گرفتن یک بحران طبیعی احتمالی پیشنهاد داده‌اند. امکان انتقال خون از یک گروه خونی و همچنین مشتقات آن به انواع دیگر بر اساس نیاز پژوهشی به عنوان نواوری در مدل در نظر گرفته شده است. این مدل برای در نظر گرفتن یک زلزله‌ی احتمالی در تهران تهیه شده است.<sup>[۲۱]</sup>

همکاران (۲۰۲۰)، یک مدل مکان‌یابی - تخصیص استوار پویا برای طراحی شبکه‌ی زنجیره‌ی تأمین خون تحت ریسک اختلال در تسهیلات و عدم قطعیت در وضعیت بحران ارائه داده‌اند. برای حل مدل در ابعاد بزرگ از دو الگوریتم فرابنکاری رقابت استعماری خودسازگار<sup>۶</sup> و بهینه‌سازی علف‌های هرز مهاجم<sup>۷</sup> استفاده شده است.<sup>[۲۲]</sup>

حسینی مطلق و همکاران (۲۰۲۰)، مدل برنامه‌ریزی تصادفی دو مرحله‌ای دوهدفه برای مدیریت زنجیره‌ی تأمین گلوبال‌های قرمز با در نظر گرفتن عدم قطعیت ارائه داده‌اند. هدف مدل، کمینه‌سازی هزینه‌ی کل زنجیره‌ی تأمین همراه با تعیین تصمیمات بهینه‌ی مکان‌یابی - تخصیص و مدیریت موجودی است. رویکرد بهینه‌سازی استوار برای مقابله با عدم قطعیت پارامترها به کار گرفته شده است.<sup>[۲۳]</sup> در پژوهشی دیگر، حمدان و دیبات (۲۰۲۰)، یک مدل بهینه‌سازی دوهدفه‌ی استوار برای طراحی زنجیره‌ی تأمین خون که در برابر سناریوهای بحران تاب آور<sup>۸</sup> هستند، پیشنهاد داده‌اند. هدف مدل بهینه‌سازی تصادفی دو مرحله‌ای پیشنهادی، به کمینه‌سازی زمان و هزینه‌ی ارسال خون به بیمارستان‌ها بعد از وقوع بحران ضمن در نظر گرفتن اختلالات احتمالی در تجهیزات خون و مسیرهای حمل و نقل است. الگوریتم آزادسازی لاگرانز برای حل مدل در ابعاد بزرگ با در نظر گرفتن مطالعه‌ی موجودی بانک‌های خون در اردن به کار گرفته شده است.<sup>[۲۴]</sup>

با توجه به معرف ادبیات انجام گرفته، مکان‌یابی پایگاه‌های سیار و ثابت و تعیین سیاست بهینه در موجودی خون و همچنین کمینه‌سازی هزینه‌های مربوط به زنجیره‌ی تأمین خون مانند هزینه‌ی مکان‌یابی، هزینه‌ی حمل و نقل، هزینه‌ی تخصیص اهداکنندگان، هزینه‌ی سفارش، هزینه‌ی تگه‌داری، کمبود و هدر رفتن خون در مراکز خون و بیمارستان‌ها باعث بهبود زنجیره‌ی تأمین می‌شود. همچنین با توجه به فسادپذیری کالای خون، سیستم مصرف در بیمارستان به صورت FIFO در نظر گرفته شده است تا میزان ضایعات و کمبود خون کمینه شود، که از نواوری‌های این تحقیق است. مدل تصمیمات به تعیین: ۱. تعداد پایگاه سیار و مراکز خون؛ ۲. مکان پایگاه‌های سیار و مراکز خون؛ ۳. مقدار خون جمع‌آوری شده توسط پایگاه‌ها تحت هر سناریو؛ ۴. سطح موجودی آخر دوره می‌پردازد. همچنین به منظور شفافسازی

### ۳. تعریف مسئله

در این پژوهش، یک مدل برنامه‌ریزی تصادفی دو مرحله‌ای مکان‌یابی - موجودی سه‌سطحی خون که جزء زنجیره‌ی تأمین کالای فاسدشدنی است، با در نظر گرفتن سیستم مصرف FIFO در بیمارستان‌ها مورد مطالعه قرار گرفته است.

همان‌طور که پیشتر توضیح داده شد، زنجیره‌ی تأمین خون پیشنهادی، دارای سه سطح، شامل اهداکنندگان خون، پایگاه‌های سیار و ثابت و مراکز مصرف است. اهداکنندگان به پایگاه ثابت یا سیار تخصیص می‌یابند. در صورت تخصیص به پایگاه سیار، پایگاه سیار به سمت پایگاه ثابت حرکت می‌کند. در پایگاه ثابت با توجه به تقاضای مراکز مصرف (که در اینجا بیمارستان لحاظ شده است)، خون را ارسال می‌کنند. نکته‌ی قابل توجه درباره خون، فسادپذیری سریع پلاکت است که از این جهت حائز اهمیت است و بر این اساس سطح موجودی با عمر پلاکت در مرکز خون و بیمارستان‌ها در این مقاله مورد مطالعه قرار گرفته شده است.

تابع هدف به منظور کمینه کردن هزینه‌ی مکان‌یابی پایگاه‌های سیار و ثابت جمع‌آوری خون، هزینه‌ی حمل و نقل، هزینه‌ی تخصیص اهداکنندگان، هزینه‌ی سفارش، هزینه‌ی تگه‌داری، کمبود و هدر رفتن خون در مراکز خون و بیمارستان‌هاست. هدف مدل تعیین تصمیمات شامل: ۱. تعداد پایگاه سیار و مراکز خون؛ ۲. مکان پایگاه‌های سیار و مراکز خون؛ ۳. مقدار خون جمع‌آوری شده توسط پایگاه‌ها تحت هر سناریو؛ ۴. سطح موجودی آخر دوره است.

#### ۱.۱. فرضیات مدل

فرضیات در نظر گرفته شده در مدل پیشنهادی عبارت‌اند از:

- ظرفیت پایگاه‌های سیار و ثابت محدود است؛
- عرضه‌ی خون، تقاضا و مصرف بیمارستان تصادفی است؛
- زمان انتظار برای انتقال خون از مرکز خون به بیمارستان صفر است؛
- طول عمر پلاکت در مدل ۵ روز در نظر گرفته شده است؛
- سیاست مصرف خون در بیمارستان بر اساس FIFO است؛
- اگر تقاضا برآورده نشود، توسط موجودی در دسترس با کمبود مواجهه می‌شود؛
- اگر عمر محصول تمام شود، هدر رفتن اتفاق می‌افتد؛
- موجودی ابتدای دوره صفر است.
- **اندیس‌ها**
  - i: مجموعه‌ی ناحیه‌ی جمعیتی اهداکنندگان؛
  - k: مجموعه‌ی محل‌های کاندید استقرار پایگاه ثابت؛
  - z: مجموعه‌ی محل‌های کاندید استقرار پایگاه سیار؛
  - t: دوره زمانی؛

جدول ۱. جدول مقایسه‌بی مقالات حوزه طراحی شبکه‌ی زنجیره‌ی تأمین خون.

	نوع عدم قطعیت	سیاست			نوع تصمیمات	تعداد سطوح	زنجیره	نویسندهان
		رویکرد مدل‌سازی	تواجع هدف	فازی تصادفی احتمالی				
برنامه‌ریزی پویا	*	برنامه‌ریزی پویایی تصادفی	هزینه	برنامه‌ریزی پویایی تصادفی	-	موجودی	۲	ژو و همکاران (۲۰۱۱)
گمز	*	برنامه‌ریزی تصادفی دو مرحله‌یی تحویل	هزینه - زمان	برنامه‌ریزی تصادفی دو مرحله‌یی	-	مکان‌یابی - موجودی	۳	فهیمنیا و همکاران (۱۵)
گمز	*	برنامه‌ریزی خطی عدد صحیح مختلط	هزینه	برنامه‌ریزی خطی عدد صحیح مختلط	-	مکان‌یابی - موجودی	۳	رمضانیان و بهبودی (۱۷)
گمز	*	ترکیب برنامه‌ریزی تصادفی دو مرحله‌یی و برنامه‌ریزی امکانی تازگی	هزینه - کمبود -	برنامه‌ریزی امکانی	-	مکان‌یابی - موجودی	۳	قطره سامانی و همکاران (۱۸)
فراباتکاری	*	محیطی - اثرات اثرات اجتماعی	هزینه - اثرات	برنامه‌ریزی امکانی	-	مکان‌یابی - موجودی	۳	اسکندری و همکاران (۱۸)
گمز	*	برنامه‌ریزی تصادفی دو مرحله‌یی	هزینه	برنامه‌ریزی تصادفی دو مرحله‌یی	-	مکان‌یابی - موجودی	۳	صالحی و همکاران (۱۹)
فراباتکاری	*	برنامه‌ریزی خطی عدد صحیح مختلط	هزینه	برنامه‌ریزی خطی عدد صحیح مختلط	-	مکان‌یابی - تخصیص	۲	حق جود همکاران (۲۰۲۰)
گمز	*	برنامه‌ریزی تصادفی دو مرحله‌یی	هزینه	برنامه‌ریزی تصادفی دو مرحله‌یی	FIFO	مکان‌یابی - تخصیص موجودی	۲	حسینی مطلق و همکاران (۲۰۲۰)
گمز	*	برنامه‌ریزی تصادفی دو مرحله‌یی تحویل	هزینه - زمان	برنامه‌ریزی تصادفی دو مرحله‌یی	-	مکان‌یابی - موجودی	۳	حمدان و دیبات (۲۰۲۰)
گمز و فراباتکاری	*	برنامه‌ریزی تصادفی دو مرحله‌یی	هزینه	برنامه‌ریزی تصادفی دو مرحله‌یی	FIFO	مکان‌یابی - موجودی	۳	تحقیق حاضر

:  $C_{ap_k}$ ؛ ظرفیت پایگاه ثابت؛

:  $C_{app_j}$ ؛ ظرفیت پایگاه سیار؛

:  $f_j$ ؛ هزینه‌ی استقرار پایگاه سیار در محل؛

:  $f_k$ ؛ هزینه‌ی استقرار پایگاه ثابت در محل؛

:  $hh_{sit}$ ؛ مقدار خون اهدایی در زمان  $t$  توسط اهدافته‌نده‌ام تحت سناریو؛

:  $d_{sht}$ ؛ مقدار تقاضای خون از بیمارستان  $h$  در زمان  $t$  تحت سناریو؛

:  $dd_{sht}$ ؛ مقدار تقاضای خون از بیمارستان  $h$  از مرکز خون در زمان  $t$  تحت سناریو؛

:  $ca_{ij}$ ؛ هزینه‌ی انتقال یک واحد خونی از ناحیه‌ی جمعیتی  $i$  به پایگاه سیار؛

:  $cb_{ik}$ ؛ هزینه‌ی انتقال یک واحد خونی از ناحیه‌ی جمعیتی  $i$  به پایگاه ثابت  $k$ ؛

: طول عمر؛

: مجموعه‌ی سناریوهای سیار؛

• پارامترها

: هزینه‌ی کمبود خون؛

: هزینه‌ی نگهداری خون؛

: هزینه‌ی هدر رفتن خون؛

: هزینه‌ی سفارش خون از مرکز خون؛

: عدد بزرگ؛

S.t.

$$\sum_j y_{sijt} + \sum_k yy_{sikt} = 1 \quad \forall s, i, t \quad (2)$$

$$y_{sijt} \leq M * x_j \quad \forall s, i, j, t \quad (3)$$

$$yy_{sikt} \leq M * xx_k \quad \forall s, i, k, t \quad (4)$$

$$yy_{sjkt} \leq M * xx_k \quad \forall s, j, k, t \quad (5)$$

$$Fc_{sjkrt} \leq M * yy_{sjkt} \quad \forall s, j, k, r, t \quad (6)$$

$$Fa_{sijrt} = hh_{sit} * y_{sijt} \quad \forall s, i, j, t, r = 1 \quad (7)$$

$$Fb_{sikt} = hh_{sit} * yy_{sikt} \quad \forall s, i, k, t, r = 1 \quad (8)$$

$$\sum_i Fa_{sijrt} = \sum_k Fc_{sjkrt} \\ \forall s, j, k, t, r = 1 \quad (9)$$

$$\sum_i Fb_{sikrt} + \sum_j Fc_{sjkrt} = p_{skrt} \\ \forall s, k, t, r = 1 \quad (10)$$

$$\sum_i Fb_{sikrt} + \sum_j Fc_{sjkrt} \leq Cap_k xx_k \\ \forall s, k, t, r = 1 \quad (11)$$

$$\sum_i Fa_{sijrt} \leq Capp_j x_j \\ \forall s, j, t, r = 1 \quad (12)$$

$$vv_{skrt} = p_{skrt} - \sum_h q_{skhrt} + rrr_{skrt} \\ \forall s, k, t, r = 1 \quad (13)$$

$$vv_{skrt} = vv_{skr-t-1} - \sum_h q_{skhrt} + rrr_{skrt} \\ \forall s, k, t, r \geq 2 \quad (14)$$

$$\sum_k \sum_r q_{skhrt} = dd_{sht} \quad \forall s, h, t \quad (15)$$

$$\sum_h q_{skhrt} \leq (vv_{skrt} + p_{skrt}) xx_k \quad \forall s, k, t, r \quad (16)$$

$$z_{shrt} \geq z_{shr-t} \quad \forall s, h, t, r \quad (17)$$

$$\sum_r (v_{shr-t-1} + \sum_k q_{skhrt}) z_{shrt} - jj_{shrt} + rr_{sht} \\ = d_{sht} \quad \forall s, h, t \quad (18)$$

$$(1 - z_{shr-t})(v_{shr-t-1} + \sum_k q_{skhrt}) \geq jj_{shrt} \\ \forall s, h, r, t \quad (19)$$

$$d_{sht} - \sum_r (v_{shr-t-1} + \sum_k q_{skhrt}) \leq rr_{sht} \\ \forall s, h, t \quad (20)$$

$$v_{shrt} = (1 - z_{shrt})(v_{shr-t-1} + \sum_k q_{skhrt}) \\ - (z_{shrt} - z_{shr-t}) jj_{shrt} \quad \forall s, h, r, t \quad (21)$$

$$\sum_r (v_{shrt}) rr_{sht} = 0 \quad \forall s, h, t \quad (22)$$

$$\sum_r (vv_{skrt}) \sum_r rrr_{skrt} = 0 \quad \forall s, h, t \quad (23)$$

$$u_{sht} = v_{shrt} \quad \forall s, h, t, r = 0 \quad (24)$$

$$u_{skt} = v_{skrt} \quad \forall s, h, t, r = 0 \quad (25)$$

$$Fa, Fb, Fc, v, vv, u, uu, rr, rrr, jj, q \geq 0 \\ \text{and int eger} \quad (26)$$

$$x_j, xx_k, y_{sijt}, yy_{sikt}, yy_{sjkt}, z_{shrt} \in \{0, 1\}$$

: هزینه‌ی انتقال یک واحد خونی از پایگاه سیار  $j$  به پایگاه ثابت  $k$ :  $cc_{jk}$   
 $: cd_{kh}$ : هزینه‌ی انتقال یک واحد خونی از پایگاه ثابت  $k$  به بیمارستان  $h$ :  $P_s$ : احتمال وقوع سناریو  $s$

### • متغیرهای تصمیم

: مقدار خون انتقال یافته با طول عمر  $r$  از ناحیه‌ی جمعیتی  $i$  به پایگاه سیار  $j$  در دوره  $t$  تحت سناریو  $s$ :  $Fa_{sijrt}$

: مقدار خون انتقال یافته با طول عمر  $r$  از ناحیه‌ی جمعیتی  $i$  به پایگاه ثابت  $k$  در دوره  $t$  تحت سناریو  $s$ :  $Fb_{sikrt}$

: مقدار خون انتقال یافته با طول عمر  $r$  از پایگاه سیار  $j$  به پایگاه ثابت  $k$  در دوره  $t$  تحت سناریو  $s$ :  $Fc_{sjkrt}$

: اگر پایگاه سیار در ناحیه‌ی  $j$  ایجاد شود ۱ و در غیر این صورت ۰ است:  $x_j$

: اگر پایگاه ثابت در ناحیه‌ی  $k$  ایجاد شود ۱ و در غیر این صورت ۰ است:  $x_k$

: اگر ناحیه‌ی جمعیتی  $i$  به پایگاه ثابت  $k$  در زمان  $t$  تحت سناریو  $s$  تخصیص یابد ۱ و در غیر این صورت ۰ است:  $y_{sijt}$

: اگر ناحیه‌ی جمعیتی  $i$  به پایگاه ثابت  $k$  در زمان  $t$  تحت سناریو  $s$  تخصیص یابد، ۱ و در غیر این صورت ۰ است:  $yy_{sikt}$

: اگر پایگاه سیار  $j$  به پایگاه ثابت  $k$  در زمان  $t$  تحت سناریو  $s$  تخصیص یابد، ۱ و در غیر این صورت ۰ است:  $yy_{sjkt}$

: اگر از خون با طول عمر  $r$  در زمان  $t$  تحت سناریو  $s$  توسط بیمارستان  $h$  مصرف شود ۱ و در غیر این صورت ۰ است:  $z_{shrt}$

: مقدار سفارش بیمارستان  $h$  از مرکز خون  $k$  با طول عمر  $r$  در دوره  $t$  تحت سناریو  $s$ :  $q_{skhrt}$

: مقدار کمبود خون در مرکز خون  $k$  در زمان  $t$  تحت سناریو  $s$ :  $rrr_{sht}$

: مقدار هدر رفتن خون در مرکز  $k$  در زمان  $t$  تحت سناریو  $s$ :  $uu_{sht}$

: مقدار کمبود خون در بیمارستان  $h$  در زمان  $t$  در سناریو  $s$ :  $rrr_{sht}$

: مقدار هدر رفتن خون در بیمارستان  $h$  که برای تقاضا در دوره‌ی  $t$  تحت سناریو  $s$  کاملاً استفاده نشده است و به دوره‌ی بعدی انتقال یافته است:  $u_{sht}$

: موجودی مرکز خون  $k$  با طول عمر  $r$  در دوره  $t$  تحت سناریو  $s$ :  $vv_{skrt}$

: موجودی بیمارستان  $h$  با طول عمر  $r$  در دوره  $t$  تحت سناریو  $s$ :  $v_{shrt}$

: مقدار خون وارد شده به پایگاه ثابت  $k$  با طول عمر  $r$  در دوره  $t$  تحت سناریو  $s$ :  $p_{skrt}$

### ۲.۳. تابع هدف و محدودیت‌ها

$$\begin{aligned} Min = & \sum_j f_j x_j + \sum_k f_k xx_k \\ & + P_s [\sum_s \sum_i \sum_j \sum_t Ca_{ij} y_{sijt} \\ & + \sum_s \sum_i \sum_k \sum_t cb_{ik} yy_{sikt} \\ & + \sum_s \sum_j \sum_k \sum_r cc_{jk} Fc_{sjkrt} \\ & + \sum_k \sum_h \sum_r q_{khrt} (cd_{kh} + O) \\ & + \sum_s \sum_k \sum_r vv_{skrt} hh \\ & + \sum_s \sum_k \sum_t rrr_{sht} b + uu_{sht} W \\ & + \sum_s \sum_h \sum_t v_{shrt} hh \\ & + \sum_s \sum_h \sum_t rr_{sht} b + u_{sht} W] \end{aligned} \quad (1)$$

مسائلی در نظر گرفت که دارای فضای حالت بسیار بزرگ هستند و عمل آبررسی همه حالت‌ها برای انسان در زمان‌های نرمال (در حد عمر بشر) ممکن نیست. به طور خلاصه الگوریتم ژنتیک روشی است که از تکامل ژنتیکی به عنوان یک الگوی حل مسئله استفاده می‌کند. الگوریتم ژنتیک برخلاف روش‌های جستجوی متداول، با یک مجموعه از جواب‌های تصادفی که جمعیت نامیده می‌شوند و حدود یا محدودیت‌های مسئله را ارضا می‌کنند، شروع به کار می‌کند. هر یک از افراد این جمعیت کروموزوم نامیده می‌شوند که بیان‌گر یک حل از مسئله در حال بررسی است. کروموزوم رشته‌ی از نمادهای است که از تکرارهای متوالی که نسل نامیده می‌شود استنتاج می‌شوند. در طول هر نسل، کروموزوم با استفاده از عملکر تقاطع و اصلاح کروموزوم می‌باید. برای تولید نسل بعدی کروموزوم‌های جدید که «فرزنده» نامیده می‌شوند، از طریق پیوند دو کروموزوم از نسل کنونی با استفاده از عملکر تقاطع و اصلاح کروموزوم با استفاده از یکی دیگر از انواع عملکردهای ژنتیکی به نام عملکر انتخاب و بر اساس مقادیر برازنده‌ی بعضی می‌شوند. نسل جدید به سیله‌ی عملکر انتخاب و بر اساس مقادیر برازنده‌ی بعضی از والدین و فرزندان و حذف بقیه آن‌ها به منظور ثابت نگه داشتن اندازه جمعیت، ایجاد کروموزوم‌های برازنده احتمال بیشتری برای انتخاب شدن دارند.

در ادامه توضیحات کامل‌تری در زمینه‌ی الگوریتم ژنتیک ارائه می‌شود.

#### قدم اول: مقداردهی اولیه

اطلاعات اولیه برای شروع کار با الگوریتم ژنتیک به قرار زیر است:

- اندازه جمعیت ( $n_{pop}$ ) که بیان‌گر تعداد کروموزوم‌هایی است که در مرحله باید نگهداری شود؛
- احتمال عملکر تقاطع ( $p_c$ ) که بیان‌گر تعداد والدینی است که در عملیات جفتگیری شرکت می‌کنند؛
- احتمال عملکر جهش ( $p_m$ ) که بیان‌گر تعداد جواب‌هایی است که در فرایند جهش شرکت می‌کنند؛
- تعداد تکرار الگوریتم.

#### قدم دوم: ساختار کروموزم

اولین گام اساسی در به کارگیری الگوریتم ژنتیک و پیاده‌سازی آن، نمایش جواب‌های مسئله به صورت کروموزم است. در حقیقت این عمل، یک مفهوم کلیدی در الگوریتم ژنتیک است که در موقوفیت و نحوه پیاده‌سازی الگوریتم تأثیر فراوانی دارد. در این نوشتار تولید کروموزوم با توجه به این که متغیرهای  $x_1$ ،  $x_2$ ،  $\dots$ ،  $x_n$  متغیرهای اصلی مسئله هستند و سایر متغیرها و استه به این دو هستند و تنها این کروموزوم‌ها به صورت تصادفی تولید می‌شوند و از آن‌جا که این متغیرها صفر و ۱ هستند؛ با توجه به سایز کروموزم صفر و ۱ به صورت تصادفی تولید می‌شود.

به عنوان مثال برای مسئله با پنج مجموعه مکان کاندید برای استقرار پایگاه سیار و چهار مجموعه مکان کاندید برای استقرار پایگاه ثابت یک نمونه کروموزم تولید شده می‌تواند به صورت جداول ۲ و ۳ باشد. عدد صفر در زن اول نشان‌گر عدم وجود تأسیس پایگاه است.

#### قدم سوم: تابع برازنده‌گر

در این مرحله با معرفی معیارهای مختلف به ارزیابی جواب‌های موجود در جمعیت می‌پردازیم. ارزیابی برازنده‌گری، بررسی مقنای تابع هدف با در نظر گرفتن محدودیت‌های مسئله است. در الگوریتم‌های فراباگاری بعد از تولید کردن جواب‌ها به هر یک از

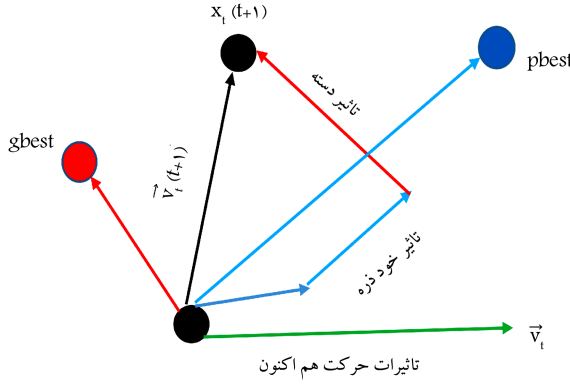
رابطه‌ی ۱ تابع هدف مسئله است که به دنبال کمینه کردن هزینه‌های استقرار پایگاه‌های اهدای خون، هزینه‌ی تخصیص اهداکنندگان به سوی پایگاه ثابت و سیار، هزینه‌ی حمل و نقل واحدهای خون در طول شبکه‌ی زنجیره‌ی تأمین، هزینه‌ی سفارش، هزینه‌ی نگهداری، هزینه‌ی کمبود و هدر رفتن خون در مراکز خون و بیمارستان‌هاست. محدودیت ۲ تضمین می‌کند که هر ناحیه‌ی جمعیتی  $N$  با به پایگاه ثابت یا به پایگاه ثابت باشد. محدودیت‌های ۳ و ۴ تضمین می‌کند، هر ناحیه‌ی جمعیتی  $N$  با به پایگاه ثابت یا به پایگاه سیار به پایگاه ثابت باشد. محدودیت ۵ تضمین می‌کند که پایگاه سیار به پایگاه ثابت تخصیص می‌باید؛ در صورتی که آن پایگاه باز باشد. محدودیت ۶ تضمین می‌کند که در صورتی که در صورت گرفته شده باشد جریان بین پایگاه ثابت و سیار وجود دارد. محدودیت‌های ۷ و ۸ مقدار جریان خون از اهداکنندگان به پایگاه سیار  $Z$  و پایگاه ثابت  $K$  است. محدودیت ۹ تضمین می‌کند که واحدهای خون جمع‌آوری شده توسط پایگاه سیار  $Z$  که به پایگاه ثابت  $K$  منتقل می‌شود؛ برابر با مقدار خون اهدایی اهداکنندگان به پایگاه سیار است. محدودیت ۱۰ مقدار کل خون منتقل شده توسط اهداکنندگان و پایگاه سیار  $Z$  به پایگاه ثابت  $K$  است. محدودیت ۱۱ بیان می‌کند که مقدار خون منتقل شده به پایگاه ثابت پایگاه کمتر باشد. محدودیت ۱۲ بیان می‌کند که مقدار خون منتقل شده به پایگاه سیار  $Z$  باید از ظرفیت پایگاه کمتر باشد. محدودیت ۱۳ و ۱۴ موجودی مراکز خون را نشان می‌دهد. محدودیت ۱۵ بیان می‌کند که مقدار جریان از مراکز  $h$  برابر تقاضای بیمارستان  $H$  در هر دوره است. محدودیت ۱۶ تضمین می‌کند که مقدار جریان از پایگاه ثابت خون به بیمارستان  $K$  ترا مساوی موجودی پایگاه ثابت خون است. محدودیت ۱۷ ارسال FIFO در سیاست مصرف خون در بیمارستان  $H$  را نشان می‌دهد. محدودیت ۱۸ بیان می‌کند که تقاضا کاملاً باید برآورد شود، در غیر این صورت بیمارستان با کمبود برای ارسال خون مواجه می‌شود.  $j_{short}$  متغیر کمکی است که تعداد واحد یک گروه خونی که دست کم یک واحد از آن در دوره زمانی  $short_j$  متغیر کمکی  $j_{short}$  نباید از مقدار موجودی در دسترس بیشتر باشد و در صورت مشتبه بودن مقدار آن از استفاده کردن موجودی جدیدتر جلوگیری می‌کند و بیان‌گر برآورد شدن تقاضا است. محدودیت ۲۰ بیان می‌کند که اگر تقاضا بیشتر از موجودی باشد با کمبود مواجه می‌شوند. محدودیت ۲۱ سطح موجودی گروه خون با عمر  $\tau$  بیمارستان  $H$  در هر دوره را نشان می‌دهد. محدودیت ۲۲ و ۲۳ تضمین می‌کند که در صورت وجود موجودی، کمبود صفر است. محدودیت‌های ۲۴ و ۲۵ مقدار هدر رفتن خون را نشان می‌دهد. در نهایت محدودیت‌های ۲۶ و ۲۷ نوع متغیرهای تصمیم را نشان می‌دهند.

## ۴. روش حل

از آن‌جا که مدل ارائه شده، مدل مختلط عدد صحیح غیر خطی است و حل آن از طریق نرم‌افزار  $Gمز^9$  در ابعاد بزرگ امکان‌پذیر نیست، برای حل از دو الگوریتم فراباگاری ژنتیک (GA)<sup>۱۰</sup> و بهینه‌سازی تجمعی ازدحام ذرات (PSO)<sup>۱۱</sup> استفاده شده است.

### ۴.۱. الگوریتم ژنتیک

الگوریتم‌های ژنتیک، الگوریتم‌هایی هستند که قدرت بسیار زیادی در یافتن جواب مسئله دارند، اما باید توجه داشت که شاید بتوان کاربرد اصلی این الگوریتم‌ها را در



شکل ۲. تأثیرات بر روی بردار سرعت.

اساس الگوی هوش جمعی عمل می‌کند.<sup>[۲۵]</sup> در الگوریتم بهینه‌سازی از دحام ذرات، ذرات بر اساس تمايلات اجتماعی فیزیکی در فضای جستجو حرکت می‌کنند. مکان یک ذره هم بر اساس تجربیات خود ذره و هم بر اساس اطلاعات ذرات همسایه تغییر می‌کند. یک فضای جستجوی  $n$  بعدی با  $\{x_1, x_2, \dots, x_n\}$  نشان داده می‌شود، به صورتی که  $N$  تعداد ذرات در دسته را نشان می‌دهد. فرض کنید (ت) مکان ذره در تکرار  $t$  باشد. مکان ذره  $p_i$  توسط بردار سرعت تغییر می‌کند. همان‌طور که گفته شد ذره  $i$  یک نقطه در فضای جستجو است، به صورتی که ذره، مکان و بردار سرعتش ( $v_i(t)$ ) به ترتیب توسط معادلات ۲۸ تا ۳۰ محاسبه می‌شود:

$$P_i = (p_{i1}, p_{i2}, \dots, p_{in}) \in S \quad (28)$$

$$X_i = (x_{i1}, x_{i2}, \dots, x_{in}) \in S \quad (29)$$

$$V_i = (v_{i1}, v_{i2}, \dots, v_{in}) \in S \quad (30)$$

فرض کنید  $S \subseteq NG_i$  مجموعه‌ی تمام ذراتی است که اطلاعات خود را به اشتراک می‌گذارند. این ذرات همسایگان ذره  $i$  به شمار می‌روند. به علاوه  $g$  به عنوان اندیس بهترین ذره در این مجموعه در نظر گرفته شده است. براین اساس:

$$f(p_g) \leq f(p_i) \quad \forall NG_i \quad (31)$$

سپس ذرات توسط معادلات ۳۲ و ۳۳ دستکاری می‌شود. مکان ذره  $i$  توسط بردار سرعت، طبق رابطه (۳۰) عوض می‌شود:

$$\vec{x}_i(t) = \vec{x}_i(t-1) + \vec{v}_i(t) \quad (32)$$

تبادل اطلاعات بین ذرات به صورت بردار سرعت بر روی ذره اعمال می‌شود:

$$\begin{aligned} \vec{v}_i(t) &= w \vec{v}_i(t-1) + c_1 r_1 (\vec{x}_{pbest} - \vec{x}_i(t)) \\ &+ c_2 r_2 (\vec{x}_{gbest} - \vec{x}_i(t)) \end{aligned} \quad (33)$$

به صورتی که  $r_1$  و  $r_2$  متغیرهای تصادفی یکنواخت در بازه  $(0, 1)$  هستند. همچنین  $c_1$  و  $c_2$  دو پارامتر با مقادیر مشبّت به نام‌های پارامترهای شناختی و اجتماعی هستند. اولین، دومین و سومین جمله در عبارت ۳۳ به ترتیب حرکت فعلی، تأثیر از اطلاعات شخصی و اجتماعی بر روی بردار سرعت را نشان می‌دهد. همچنین، بهترین مکان در چگونگی تأثیرات بر روی بردار سرعت را نشان می‌دهد. همچنین، بهترین مکان در هر گام طبق رابطه ۳۴ به نتیجه می‌شود:

$$\vec{p}_i(t+1) = \vec{x}_i(t+1) \quad \text{if } f(x_i) \leq f(p_i) \quad (34)$$

جدول ۲. نمونه‌ی از کروموزوم (کروموزوم  $xx$ ).

۱	۰	۱	۱	۰
---	---	---	---	---

جدول ۳. نمونه‌ی از کروموزوم (کروموزوم  $xx$ ).

۰	۰	۱	۱
---	---	---	---

آنها یک مقدار برآزندگی اختصاص می‌یابند. در به کارگیری الگوریتم‌های فراابتکاری برای مسائل دارای محدودیت، مهم‌ترین نکته چگونگی مواجهه با محدودیت‌هاست. توابع جریمه یکی از مهم‌ترین روش‌های برخورد با مسائل دارای محدودیت است.

#### قدم چهارم: انتخاب والد

انتخاب مناسب والد تأثیر مهمی برای همگرایی الگوریتم زتیک دارد. فرایند انتخاب والد از جمعیت برای عمل تقاطع است. در این مرحله، باید در ارتباط با نحوه انتخاب والدین برای عمل تقاطع نحوه تولید فرزندان و تعداد فرزندان تصمیم‌گیری شود. انواع روش انتخاب والد عبارت‌اند از: انتخاب مناسب بر اساس، نمونه برداری فراگیر تصادفی، انتخاب مسابقه‌یی و انتخاب چرخ رولت. در این پژوهش از روش مسابقه‌یی استفاده شده است که سه والد به طور تصادفی انتخاب و بهترین آن که کمترین هزینه را دارد برگزیده می‌شود.

#### قدم پنجم: عملگر تقاطع

بخشی از فرایند تکامل در طیعت بدین صورت است که کروموزوم‌هایی به عنوان والدین انتخاب شده و با هم ترکیب می‌شوند. در واقع می‌باشی کروموزوم‌های انتخاب شده را تقاطع دهیم. ما سه نوع عملگر تقاطع داریم یکنواخت، تک نقطه‌یی و دو نقطه‌یی. در این پژوهش از عملگر تقاطع یکنواخت استفاده شده است.

#### قدم ششم: جهش

فلسفه‌ی عملگر جهش در الگوریتم زتیک این است که از ثابت شدن جمعیت در هر مکان هندسی جلوگیری می‌کند. در واقع عملگر جهش فضایی از جواب را که توسط عملگر تقاطع یافت نشده است، جستجو می‌کند. این عملگر در کروموزوم‌های متفاوت، تغییراتی تصادفی بنامه‌ریزی نشده ایجاده کرده و زن‌هایی را که در جمعیت اولیه وجود نداشته‌اند، وارد جمعیت کند. در رابطه با این عملگر، مفهوم مهیّی تحت عنوان نرخ جهش مطرح است. نرخ جهش عبارت است از درصدی از کل زن‌های موجود در هر کروموزم که چهار تغییر می‌شوند. عملگرهای جهش مختلفی در ادبیات استفاده شده است اما در این پژوهش از عملگر معکوس استفاده شده است؛ به این صورت که مقدار ۱، صفر می‌شود و مقدار صفر به ۱ بدل می‌شود.

#### قدم هفتم: شرط خاتمه

در این تحقیق شرط خاتمه تعداد دفعات تکرار در نظر گرفته شده است.

### ۲.۴. الگوریتم بهینه‌سازی از دحام ذرات

دولالگوریتم مشهور هوش جمعی عبارت است از: بهینه‌سازی مورچگان و بهینه‌سازی از دحام ذرات. الگوریتم بهینه‌سازی از دحام ذرات از شبیه‌سازی رفتار جمعی حیوانات الهام گرفته شده است، به گونه‌یی که برای اولین بار توسط کندی و ابرهات با استفاده از مقاومت نزدیک‌ترین همسایگی، سرعت و شتاب بر اساس فاصله مطرح شده است و بر

جدول ۴. سطوح ارائه شده برای پارامترهای الگوریتم‌های ژنتیک و ازدحام ذرات.

الگوریتم‌ها	پارامترهای الگوریتم	سطح پایین	سطح متوسط	سطح بالا
اندازه جمعیت اولیه	نرخ تقطاع	۶۰	۳۰	۹۰
ژنتیک	نرخ جهش	۰,۹	۰,۸	۰,۹۹
ازدحام ذرات	ضریب یادگیری هر ذره	۱,۷۵	۱,۷۵	۲,۲۵
وزن اینرسی تعديل یافته	ضریب یادگیری کل جامعه	۰,۸۷	۰,۸۷	۰,۹۹
	وزن اینرسی تعديل یافته	۰,۵	۰,۴	۰,۶

جدول ۵. نتایج مقایسه شده گمز و دو الگوریتم ژنتیک و ازدحام ذرات.

ابعاد مسئله ( $ I  \times  J  \times  K  \times  H  \times  T $ )	گمز	الگوریتم ژنتیک	الگوریتم ازدحام ذرات
$ 1  \times  2  \times  2  \times  1  \times  2 $	۸۴۲۰۹/۰۸۱	۸۴۴۹۹/۴۰۷	۸۵۷۶۱/۵۴۱
$ 2  \times  2  \times  2  \times  1  \times  2 $	۸۰۵۵۰/۲۰۰	۸۲۰۸۰/۳۷۴	۸۳۰۹۰/۹۷۴
$ 3  \times  2  \times  2  \times  1  \times  2 $	۹۸۴۵۸/۴۱۸	۹۹۸۴۹/۷۰۸	۱۰۶۴۱/۱۸۶

کاوش هزینه، به دست آوردن سطوح بهینه‌ی پارامترها در زمان کمتر است.<sup>[۲۷]</sup> پارامترهای الگوریتم GA و PSO در جدول ۴ آورده شده است. با توجه به آزمایشات تاگوچی، مقدار اندازه جمعیت اولیه، ۶۰، مقدار نرخ تقطاع ۰,۹ و مقدار نرخ جهش ۰,۵ به عنوان بهترین سطح جهت عملکرد بهینه الگوریتم ژنتیک در نظر گرفته شده است. همچنین، مطابق نتایج فوق مقادیر ضریب یادگیری هر ذره و کل جامعه برابر ۲ و مقدار وزن اینرسی تعديل یافته ۰,۹۳، به عنوان بهترین سطح جهت عملکرد بهینه الگوریتم بهینه‌سازی ازدحام ذرات در نظر گرفته شده است.

## ۵. نتایج محاسباتی

در این بخش، با انجام آزمایشات محاسباتی، کارایی روش حل پیشنهادی ارزیابی می‌شود. به علمت پیچیدگی و زمان بر بودن مسئله، برای حل از الگوریتم‌های فرالبتکاری استفاده و عملکرد آن دو با یکدیگر مقایسه شده است. برای حصول اطمینان از عملکرد صحیح الگوریتم‌های پیشنهادی و نیز معتبر بودن نتایج حاصل از آن‌ها، مدل در اندازه کوچک توسط نرم‌افزار گمز ۲۳,۴ حل شده است. پارامترهای استفاده شده و مقادیر تابع هدف به دست آمده در جدول ۵ قابل مشاهده است. مسائل آزمایشی در ابعاد کوچک، متوسط و بزرگ به تعداد ۲۷ مسئله طراحی شده است. مقادیر پارامترهای ورودی در جدول ۶ ارائه شده است. برای تحلیل نتایج حاصل از اجرای ۲۷ مسئله آزمایشی توسط دو الگوریتم، دو ساختار مقدار تابع هدف و مدت زمان رسیدن به جواب بهینه مورد ارزیابی قرار می‌گیرد که نتایج حاصل از آن در جدول ۷ نشان داده شده است.

به منظور ارائه تحلیل آماری نتایج حاصل از اجرای الگوریتم‌های پیشنهادی، از آزمون تحلیل واریانس در سطح اطمینان ۹۵٪ استفاده شده است. خروجی نتایج تحلیل واریانس دو الگوریتم بهینه‌ی تابع هدف و زمان ارائه شده است. برای دو معیار مقدار بهینه‌ی تابع هدف و زمان ارائه شده است. مطابق نتایج جدول ۸، مقدار p-value برای معیار مقدار تابع هدف بیان‌گر این است که دلیلی برای رد آن وجود ندارد؛ بدین معنی که میانگین‌های مقدار تابع هدف

پارامترهای زیادی هستند که بر الگوریتم PSO تأثیر می‌گذارند. به عنوان مثال تعداد ذرات، ابعاد مسئله، وزن اینرسی، اندازه همسایه‌ها، تعداد تکرارهای الگوریتم، ضرایب ثابت مؤلفه‌های اجتماعی و مؤلفه‌های شناختی و بیشترین سرعت یک ذره، در این مقاله تنظیم پارامترهای زیر برتری داشته است.

- ضرایب سرعت  $c_1$  و  $c_2$  با ضرایب  $r_1$  و  $r_2$  در مؤلفه‌های اجتماعی و شناختی نقش بسیار زیادی در راندمان ذره دارند. اگر  $c_1$  و  $c_2$  مساوی صفر باشند؛ ذرات فقط با سرعت خاصی بدون هدف در فضا حرکت می‌کنند و آنقدر حرکت می‌کنند تا به مرز فضای جستجو برسد. اگر  $c_1 = c_2 = 0$  باشد، ذرات فقط به توجه فردی خود توجه می‌کنند. اگر  $c_1 = c_2 = 0$  باشد ذرات فقط بهترین فرد گروه توجه می‌کنند.

- وزن اینرسی این وزن در واقع درصدی از سرعت قبلی ذره را در محاسبه سرعت جدید تأثیر می‌دهد. هرچه این مقدار بیشتر باشد جستجوی عمومی افزایش می‌یابد و هرچه این وزن کمتر باشد میزان جستجوی محلی افزایش می‌یابد.<sup>[۲۸]</sup> طبق توضیحات قبل مراحل کلی الگوریتم PSO به صورت زیر است:

۱. ایجاد جمعیت اولیه؛
۲. تعیین بهترین ذره و بهترین حافظه‌ی شخصی هر کدام از ذرات؛
۳. روزرسانی سرعت و موقعیت برای تمام ذرات؛
۴. تعیین بهترین ذره و بهترین حافظه‌ی شخصی هر کدام از ذرات؛
۵. در صورت برآورده نشدن شرایط خاتمه به ۳ بروید، در غیر این صورت الگوریتم خاتمه می‌یابد.

۴. تنظیم پارامتر الگوریتم از آنجا که نتایج الگوریتم‌های فرالبتکاری به شدت به پارامترهای الگوریتم‌های پیشنهادی وابسته‌اند، از روش تاگوچی برای تنظیم پارامترهای آن‌ها استفاده خواهد شد. مزیت روش تاگوچی نسبت به دیگر روش‌های طراحی آزمایشات، علاوه بر

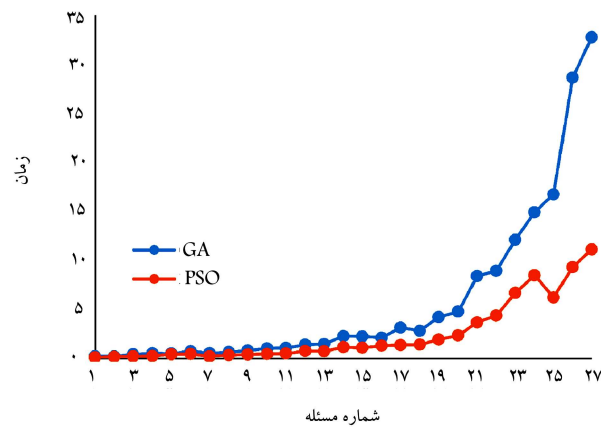
جدول ۶. مقادیر پارامترهای ورودی.

پارامتر مقدار	پارامتر مقدار	پارامتر مقدار
B~uniform [۴۰ ۵۰]	w~uniform [۶ ۱۰]	cap_k~uniform [۴۰۰۰ ۶۰۰۰]
hh~uniform [۱ ۲]	O~uniform [۱۲ ۱۵]	capp_j~uniform [۱۰۰۰ ۱۵۰۰]
f_j~uniform [۱۰۰۰ ۱۵۰۰]	f_k~uniform [۱۹۰۰۰ ۲۱۰۰۰]	ca_ij~uniform [۵ ۲۰]
cb_ik~uniform [۴۰ ۱۰۰]	cc_jk~uniform [۵ ۲۰]	cc_kh~uniform [۵ ۲۰]
d_ht~uniform [۶۰ ۱۰۰]	d_ht~uniform [۸۰ ۱۵۰]	d_3ht~uniform [۳۸۰ ۴۰۰]
dd_it~uniform [۱۰۰ ۱۵۰]	dd_it~uniform [۱۰۰ ۲۵۰]	dd_it~uniform [۲۱۰ ۳۱۰]
hh_it~uniform [۳۰۰ ۴۸۰]	hh_it~uniform [۲۰۰ ۳۰۰]	hh_it~uniform [۱۰۰ ۲۰۰]

جدول ۷. نتایج مقایسه شده دو الگوریتم زنتیک و ازدحام ذرات.

شماره مسئله	ابعاد مسئله	الگوریتم زنتیک	الگوریتم ازدحام ذرات	زمان محاسباتی	تابع هدف
۱	۱ × ۲ × ۲ × ۱ × ۱	۸۴۴۹۹/۴۰۶۶	۲۲۷/۹۷۹۷	۱۰۵/۷۱۹۴	۸۵۷۶۱/۵۴۱
۲	۲ × ۲ × ۲ × ۱ × ۱	۸۲۰۸۰/۳۷۴۵	۲۲۶/۰۲۵۶	۱۶۸/۹۲۴۹	۸۳۰۹۰/۹۷۵
۳	۳ × ۲ × ۲ × ۱ × ۱	۹۹۸۴۹/۷۰۸۲	۴۱۹/۰۰۸	۲۰۹/۹۸۱۴	۱۰۶۴۱۱/۱۸۵۶
۴	۳ × ۲ × ۲ × ۲ × ۱	۱۵۲۰۳۱/۳۷۱	۵۳۵/۳۸۷۶	۲۵۷/۸۶۶۱	۱۴۰۰۹۴/۴۴۷۹
۵	۳ × ۲ × ۲ × ۳ × ۱	۲۲۵۱۶۹/۵۶	۴۹۴/۲۶۵۵	۴۳۳/۰۰۹	۲۳۴۹۴۸/۵۲
۶	۴ × ۲ × ۲ × ۳ × ۱	۱۹۴۴۶۳/۰۴۹	۷۳۸/۵۷۱۶	۴۴۳/۰۸۲	۱۹۰۰۴۹/۰۲
۷	۴ × ۲ × ۲ × ۲ × ۱	۱۱۲۰۵۴/۴۸۲	۵۳۴/۰۰۴	۲۲۲/۴۹۶	۱۲۱۷۷۹/۷۹
۸	۵ × ۲ × ۲ × ۳ × ۱	۱۵۵۹۲۸/۵۳۳	۶۵۹/۲۶۵	۳۳۶/۱۰۴۸	۱۵۱۹۴۷/۷
۹	۵ × ۲ × ۲ × ۴ × ۱	۲۳۷۹۴۸/۸۶۶	۸۱۰/۲۰۸۹	۴۰۷/۹۸۳۹	۲۵۶۸۷/۶۲
۱۰	۶ × ۳ × ۳ × ۳ × ۱	۱۸۱۵۰/۰۲۴	۱۰۳۳/۹۴۶	۴۶۵/۲۷۳۴	۱۷۳۶۰/۱۸۸
۱۱	۶ × ۳ × ۳ × ۴ × ۱	۲۱۲۴۱۲/۱۴۳	۱۰۷۳/۶۵۶۹	۵۰۴/۵۶۲۲	۲۲۱۳۱۶/۶
۱۲	۷ × ۳ × ۳ × ۵ × ۱	۳۱۳۳۶۷/۶۶۷	۱۴۰۵/۸۹۹۹	۷۵۷/۰۳۶۸	۲۴۴۷۴۴/۵۹
۱۳	۷ × ۳ × ۳ × ۶ × ۱	۴۶۶۰۲۴/۴۴	۱۴۷۰/۱۱۵۱	۷۵۷/۰۳۶۸	۴۸۹۴۸۸/۶۷
۱۴	۸ × ۳ × ۵ × ۶ × ۱	۵۷۵۷۹۲/۰۷	۲۲۷۶/۸۹۴۱	۱۱۴۴/۸۴۶۱	۵۹۶۸۵۲/۲۷
۱۵	۸ × ۳ × ۵ × ۷ × ۱	۶۴۴۷۷۹/۶۷۷	۲۲۵۰/۰۳۸۷۹	۱۰۹۵/۸۸۹۵	۶۶۶۲۰/۰۹۵
۱۶	۹ × ۴ × ۵ × ۷ × ۱	۶۲۴۰۹۸/۵۱۶	۲۱۱۵/۰۷۴۲	۱۲۹۸/۵۶۶۹	۶۷۲۸۵۳/۴۸
۱۷	۱۰ × ۴ × ۶ × ۷ × ۱	۶۸۰۱۴۹/۲۶۳	۳۱۴۸/۲۸۳۶	۱۳۶۲/۳۰۱۵	۷۳۸۰۶۰/۴۸
۱۸	۱۰ × ۴ × ۶ × ۸ × ۱	۷۷۰۸۳۴/۲۹	۲۸۱۹/۰۲۶۴	۱۴۰۰/۸۶۸۵	۸۰۷۵۷۸/۴۵
۱۹	۱۱ × ۵ × ۶ × ۸ × ۱	۹۴۹۳۹۷/۰۰۷	۴۲۲۳/۸۲۰۴	۱۹۴۰/۵۷۹۸	۱۰۰۲۱۵۵/۲
۲۰	۱۲ × ۵ × ۶ × ۹ × ۱	۱۰۹۲۰۲۵/۴۲	۴۷۷۸/۸۳۴	۲۲۳۷/۱۹۳۹	۱۲۴۳۴۱۹/۳۲
۲۱	۱۴ × ۸ × ۶ × ۱۲ × ۱	۱۷۱۴۵۴۲/۷۵	۸۳۸۲/۲۴۲۹	۳۶۷۸/۲۷۷۲	۱۷۲۷۹۷۹/۵
۲۲	۱۵ × ۹ × ۸ × ۱۲ × ۱	۱۷۶۰۰۵۲/۴۸	۸۹۴۰/۰۵۹	۴۳۸۲/۷۲۲۷	۱۸۱۰۰۲۹/۲
۲۳	۱۶ × ۱۲ × ۱۰ × ۱۵ × ۱	۲۳۳۲۵۸۲/۳۹	۱۲۱۰۳/۰۶	۶۶۷۹/۳۲۷۶	۲۴۷۳۵۴۹/۹
۲۴	۱۷ × ۱۴ × ۱۰ × ۱۶ × ۱	۲۷۶۷۵۰/۶۹۶	۱۴۹۱۰/۳۸۲	۸۴۸۰/۵۹۹۶	۲۸۹۵۷۱۰
۲۵	۱۸ × ۱۴ × ۱۰ × ۱۷ × ۱	۳۰۸۸۹۲۶/۳۴	۱۶۷۳۴/۶۴۹	۶۲۲۳/۸۳۳۶	۳۱۶۰۸۹۶/۶
۲۶	۲۲ × ۱۵ × ۱۲ × ۱۸ × ۱	۴۲۸۸۲۰/۴۸	۲۸۶۴۵/۹۰۱	۹۳۱۲/۹۳۹۵	۴۴۷۸۰۷۳/۲
۲۷	۲۴ × ۱۵ × ۱۲ × ۱۹ × ۱	۵۳۴۴۸۹۷/۱۳	۳۲۷۴۸/۳۶۵	۱۱۱۲۰/۵۹۸	۵۰۵۵۷۸۹/۲

تفاوت چشمگیری با یکدیگر ندارند. شکل ۳، نمودار مقایسه دو الگوریتم براساس شاخص مقدار تابع هدف و تأیید برنتیجه عدم رد فرض صفر است. مقدار p-value برای معیار زمان محاسباتی بیانگر رد فرض صفر است. بدین معنی که میانگین های



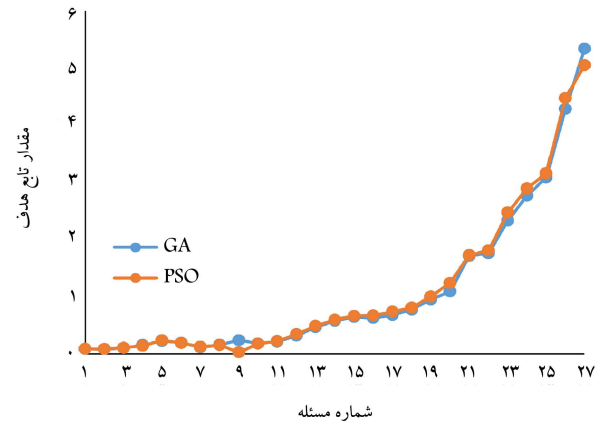
شکل ۴. نمودار مقایسه‌ی عملکرد دو الگوریتم با شاخص زمان محاسباتی (برحسب واحد).

است و بر این اساس سطح موجودی با عمر پلاکت در مرکز خون و بیمارستان‌ها در این مقاله مورد مطالعه قرار گرفته شده است. تابع هدف به منظور کمینه کردن هزینه‌ی مکان‌یابی پایگاه‌های سیار و ثابت جمع آوری خون، هزینه‌ی حمل و نقل، هزینه‌ی تخصیص اهدافتندان، هزینه‌ی سفارش، هزینه‌ی نگهداری، کمبود و هدر رفتن خون در مراکز خون و بیمارستان‌هاست. مدل در اندازه کوچک با نرم‌افزار گمز و در ابعاد بزرگ با الگوریتم ازدحام ذرات حل شد. با مقایسه نتایج حاصل از دو الگوریتم با دو شاخص مقدار تابع هدف و زمان محاسباتی، نتیجه آن شد که الگوریتم ازدحام ذرات از لحاظ زمانی بسیار کارترانزیتیک است و الگوریتم ژنتیک در ابعاد بزرگ مسئله کارایی خود را از دست می‌دهد.

در انتها، برای تحقیقات آنی می‌توان پیشنهاداتی مانند، وارد کردن سیستم صفحه‌ایستگاه سیار و ثابت، در نظر گرفتن مدت زمان انتظار و خدمت اهدافتندان مسیریابی ایستگاه‌های سیار در سرویس دادن به ایستگاه‌های ثابت، بازپرسازی توأم بیمارستان به منظور کاهش هزینه‌های حمل و نقل و در نظر گرفتن قیمت‌های مختلف برای پلاکت با توجه به طول عمر می‌توان ارائه داد.

جدول ۸. نتایج تحلیل واریانس مقایسه شاخص‌ها.

شاخص	نتایج	p - value
مقدار تابع هدف	عدم رد فرض صفر	۰,۸۵۵
زمان محاسباتی	رد فرض صفر	۰,۰۲۱



شکل ۳. نمودار مقایسه‌ی عملکرد دو الگوریتم با شاخص مقدار تابع هدف (برحسب یک میلیون واحد).

## ۶. نتیجه‌گیری

در این پژوهش یک مدل برنامه‌ریزی برای مسئله مکان‌یابی - موجودی زنجیره‌ی تأمین خون ارائه شد. زنجیره‌ی تأمین خون پیشنهادی، دارای سه سطح، شامل اهدافتندان خون، پایگاه‌های سیار و ثابت و مراکز مصرف است. اهدافتندان یا به پایگاه ثابت یا سیار تخصیص می‌باشد. در صورت تخصیص به پایگاه سیار، پایگاه سیار به سمت پایگاه ثابت حرکت می‌کند. در پایگاه ثابت با توجه به تقاضای مراکز مصرف (که در اینجا بیمارستان لحاظ شده است)، خون را ارسال می‌کند و بیمارستان‌ها با توجه به سیاست FIFO خون را برای بیماران خود استفاده می‌کنند. نکته‌ی قابل توجه درباره خون، فسادپذیری سریع پلاکت است که از این جهت حائز اهمیت

## پانوشت‌ها

1. replenishment
2. Epsilon constraint
3. lagrangian relaxation
4. P-q median
5. P-robust
6. self-adaptive imperialist competitive algorithm
7. invasive weed optimization
8. resilient
9. Gams
10. genetic algorithm
11. particle swarm optimization
12. Minitab

## منابع (References)

1. Belien, J. and Force, H. "Supply chain management of blood products: a literature review", *European Journal of Operational Research*, **217**(1), pp. 1-16 (2012).
2. Gunpinar, S. and Centeno, G. "Stochastic integer programming models for reducing wastages and shortages of blood products", *Computer and Operations Research*, **54**, pp. 129-141 (2015).
3. Zahiri, B. Torabi, S.A., Mousazadeh, M. and et al. "Blood collection management: methodology and application", *Applied Mathematical Modelling*, **39**(23-24) pp. 7680-7696 (2015).

4. Duan, Q. and Liao, T.W. "Optimization of blood supply chain with shortened shelf lives and ABO compatibility", *International Journal of Production Economics*, **153**, pp. 113-129 (2014).
5. Whitaker, B.I., Green, J., King, M.R. and et al. "The 2007 national blood collection and utilization survey", Washington, DC: The United States Department of Health and Human Services (2007).
6. Fontaine, M.J., Chung, Y.T., Rogers, W.M. and et al. "Improving platelet supply chains through collaborations between blood centers and transfusion services", *Transfusion*, **49**, pp. 2040-2047 (2009).
7. Prastacos, G.P. "Blood inventory management: an overview of theory and practice", *Management Science*, **30**(7), pp. 777-800 (1984).
8. Nahmias, S. "Perishable inventory theory: a review", *Operations Research*, **30**(4), pp. 680-708 (1982).
9. Pierskalla, W.P., *Supply Chain Management of Blood Banks*, Operations Research and Health Care, Springer, Boston, MA. pp. 103-145 (2005).
10. Zhou, D., Leung, L.C., and Pierskalla, W.P. "Inventory management of platelets in hospitals: optimal inventory policy for perishable products with regular and optional pedited replenishments", *Manufacturing and Service Operations Management*, **13**(4), pp. 420-438 (2011).
11. Fahimnia, B., Jabbarzadeh, A., Ghavamifar, A. and et al. "Supply chain design for efficient and effective blood supply in disasters", *International Journal of Production Economics*, **183**, pp. 700-709 (2015).
12. Dillon, M., Oliveira, F. and Abbasi, B. "A two-stage stochastic programming model for inventory management in the blood supply chain", *International Journal of Production Economics*, **187**, pp. 27-41 (2017).
13. Sahin, G., Süral, H. and Meral, S. "Locational analysis for regionalization of turkish red crescent blood services", *Computers & Operations Research*, **34**(3), pp. 692-704 (2007).
14. Hosseinfard, Z. and Abbasi, B. "The inventory centralization impacts on sustainability of the blood supply chain", *Computers & Operations Research*, **89**, pp. 206-212 (2018).
15. Ramezanian, R. and Behboodi, Z. "Blood supply chain network design under uncertainties in supply and demand considering social aspects", *Transportation Research Part E: Logistics and Transportation Review*, **104**, pp. 69-82 (2017).
16. Zahiri, B. and Pishvae, M.S. "Blood supply chain network design considering blood group compatibility under uncertainty", *International Journal of Production Research*, **55**(7), pp. 2013-2033 (2017).
17. Eskandari-Khanghahi, M., Tavakkoli-Moghaddam, R., Taleizadeh, A.A., and et al. "Designing and optimizing a sustainable supply chain network for a blood platelet bank under uncertainty", *Engineering Applications of Artificial Intelligence*, **71**, pp. 236-250 (2018).
18. Ghatreh Samani, M.R. and Hosseini-Motlagh, S.M. "An enhanced procedure for managing blood supply chain under disruptions and uncertainties", *Annals of Operations Research*, **283**(1), pp. 1413-1462 (2019).
19. Ghatreh Samani, M.R., Torabi, S.A. and Hosseini-Motlagh, S.M. "Integrated blood supply chain planning for disaster relief", *International Journal of Disaster Risk Reduction*, **27**, pp. 168-188 (2018).
20. Hamdan, B. and Diabat, A. "A two-stage multi-echelon stochastic blood supply chain problem", *Computers & Operations Research*, **101**, pp. 130-143 (2019).
21. Salehi, F., Mahootchi, M. and Moattar Husseini, S.M. "Developing a robust stochastic model for designing a blood supply chain network in a crisis: a possible earthquake in Tehran", *Annals of Operations Research*, **283**(1-2), pp. 679-703 (2019).
22. Haghjoo, N., Tavakkoli-Moghaddam, R., Shahmoradi-Moghadam, H. and et al. "Reliable blood supply chain network design with facility disruption: a real-world application", *Engineering Applications of Artificial Intelligence*, **90**, p. 103493 (2020).
23. Hosseini-Motlagh, S.M., Ghatreh Samani, M.R. and Homaei, Sh. "Blood supply chain management: robust optimization, disruption risk, and blood group compatibility (a real-life case)", *Journal of Ambient Intelligence and Humanized Computing*, **11**(3), pp. 1085-1104 (2020).
24. Hamdan, B. and Diabat, A. "Robust design of blood supply chains under risk disruptions using lagrangian relaxation", *Transportation Research Part E: Logistics and Transportation Review*, **134**, p. 101764 (2020).
25. Kennedy, J. and Eberhart, R.C. "Particle swarm optimization", *IEEE International Conference on Neural Networks*, Perth, Australia, **4**, pp.1942-1948 (1995).
26. Liao, C.J., Tseng, C.-T. and Luarn, P. "A discrete version of particle swarm optimization for flow shop scheduling problems", *Computers & Operations Research*, **84**, pp. 8111-8000 (2011).
27. Karimi, M., Kazemi, A. and Azizmohammadi, M. "Presenting a novel multi-objective model for the supplier selection problem in the supply chain and solve it with pareto-based metha heuristic algorithms", *Sharif Journal Industrial Engineering Management*, **1-31**(1-2), pp. 61-71 (In Persian) (2016).